

УДК 621.039.531, 546.881

# ПОВЫШЕНИЕ КОРРОЗИОННОЙ СТОЙКОСТИ КОНСТРУКЦИОННОЙ СТАЛИ 30ХГСН2А ПУТЕМ ИМПЛАНТАЦИИ ИОНОВ МЕДИ И СВИНЦА\*

Б.В. Овчинников, Ю.М. Боровин, С.В. Якутина,  
Е.В. Лукьяненко, Д.А. Козлов, О.А. Парфеновская

Представлены результаты исследований коррозионной стойкости стали 30ХГСН2А после облучения ионами меди и свинца при использовании в качестве катода имплантата монотектического сплава Cu (64%) – Pb (36%). Наблюдалось повышение коррозионной стойкости имплантированных образцов при испытаниях на общую коррозию в камере соляного тумана, а также повышение порогового значения электродного потенциала начала питинговой коррозии.

**Ключевые слова:** ионная имплантация, доза имплантированных ионов, монотектический сплав меди со свинцом, коррозия.

## Введение

Анализ технического состояния трущихся сочленений конструктивных узлов самолетов, который проводится при текущих и капитальных ремонтах летательных аппаратов, находящихся в эксплуатации, показал, что наиболее изнашиваемыми узлами и деталями являются узлы подвески щитков-закрылков, узлы подвески створок ниш шасси, шарнирные соединения звеньев складывающихся подкосов и т.п. Конструкционные материалы, применяемые при изготовлении авиационных агрегатов, проявляют склонность к различным видам коррозии, а также коррозионному растрескиванию под напряжением.

Возникновение питтинговой коррозии в процессе эксплуатации изделия представляет большую опасность, поэтому при определении устойчивости сплавов к коррозии в тех или иных условиях важным показателем является их склонность к питтингообразованию. В результате местного активирования поверхности

коррозия развивается в отдельных центрах в виде глубоких поражений, называемых питтингами. Этому виду коррозии подвержены коррозионностойкие стали, алюминиевые, титановые и другие сплавы.

Коррозионный процесс, начавшийся в отдельной точке, резко уменьшает вероятность появления его на остальной поверхности. Поскольку значительная часть поверхности находится в пассивном состоянии, возникает коррозионный элемент, в котором анодом является питтинг (один или несколько), а катодом – остальная часть поверхности. Разность потенциалов в таком коррозионном элементе достигает 0,5...0,6 В.

В зависимости от вида коррозионных разрушений деталей летательных аппаратов коррозия бывает общей (сплошной) или местной. При сплошной коррозии поверхность детали изнашивается относительно равномерно. По степени равномерности коррозионного разру-

\* Работа проведена в рамках государственного контракта № 0558 по реализации Федеральной целевой программы «Научные и научно-педагогические кадры инновационной России» на 2009–2013 гг.

шения поверхностного слоя различают сплошную равномерную и сплошную неравномерную коррозии.

Методы, применяемые для обеспечения и повышения коррозионной стойкости изделий машиностроения, подразделяют на три группы:

- воздействия на металл изделия,
- воздействия на коррозионную среду,
- комбинированные.

Методы, относящиеся к первой группе, используют в основном при изготовлении изделий. Из них наиболее часто применяют легирование металла, нанесение защитных покрытий различных сроков действия и рациональное конструирование.

Методы второй группы используют, как правило, при эксплуатации изделий. Самыми распространенными из них являются электрохимическая защита и создание искусственных сред [1].

Методы, относящиеся к третьей группе, предусматривают одновременное нанесение покрытий на поверхности изделия и воздействие на коррозионную среду.

Для повышения коррозионной стойкости изделий общего машиностроения наиболее часто используются ингибиторы коррозии, а также неметаллические защитные покрытия (лакокрасочные и полимерные) и металлические гальванические покрытия [2].

Эффективным методом по обеспечению коррозионно-, жаро-, износостойких и антифрикционных свойств поверхности деталей является ионная имплантация, в результате которой образуется не поверхностный, а так называемый внутренний слой с заданными эксплуатационными свойствами. Ионная имплантация обладает широкими возможностями для синтезирования различных соединений и аморфитизации поверхности.

В работе [3] исследовалась коррозия железа после имплантации ряда ионов, в том числе хрома и самого железа. Результаты показали, что имплантация ионов железа практически не влияет на устойчивость к окислению.

Изменение коррозионных свойств при ионной имплантации зависит не только от типа имплантируемого иона, но и от энергии пучка и дозы имплантации. Имеются оптимальные дозы имплантируемых ионов, выше которых защитные свойства поверхностных покрытий начинают снижаться.

Цель настоящей работы заключалась в исследовании влияния имплантации ионов монотектического сплава меди со свинцом на коррозионную стойкость образцов из стали 30ХГСН2А.

### **Методика выполнения исследований и оборудование**

Исследования проводились на экспериментальной установке для ионной имплантации, которая предназначена для проведения экспериментов по имплантации ионов газов и металлов. Отличительной ее особенностью является наличие двух независимых источников ионов – ионов металла и ионов газов.

В первом случае плазменной средой, в которой формируются ионы, является вакуумная дуга в парах металла. Источник работает в импульсном режиме и генерирует импульсные пучки ионов металла.

В качестве материала катода имплантера использовался монотектический сплав меди со свинцом Cu (64 %) – Pb (36 %), который был получен методом сплавления данных элементов.

Для исследования влияния имплантации ионов меди и свинца на коррозионную стойкость стали 30ХГСН2А были выбраны следующие режимы работы экспериментальной установки: ускоряющее напряжение 30 кэВ; ток ионного пучка 0,1 А; доза имплантации (флюенс)  $5 \cdot 10^{17}$  ион/см<sup>2</sup>.

Испытания образцов на общую коррозию в камере солевого тумана проводились в соответствии с ГОСТ Р 52763-2007. Определялась коррозионная стойкость изделий в атмосфере, насыщенной водными растворами солей. Температура коррозионной среды в камере составляла  $(27 \pm 2)$  °С. Соляной туман создавался при помощи пульверизатора или аэрольного аппарата. При этом брызги раствора и капли с потолка, стен камеры и системы размещения изделий не попадали на образец.

Раствор солей получали, растворяя хлористый калий в дистиллированной или деионизированной воде. Раствор распыляли сериями по 15 мин через каждые 45 мин. Дисперсность тумана составляла 1...10 мкм (95 % капель), насыщенность 2...3 г/м<sup>3</sup>.

Коррозионные испытания в камере солевого тумана HSK-1000 осуществлялись согласно ГОСТ 9012-73.

Для определения коррозионной стойкости образцов стали 30ХГСН2А использовался также потенциостатический метод, при котором производится поляризация металлического электрода в заданной последовательности потенциалов [4].

Принципиальная схема потенциостата и электрохимической ячейки показана на рис. 1. Образец, или рабочий электрод (РЭ), представляет собой металл, который исследуют с помощью вспомогательного электрода (ВЭ). В качестве такого электрода обычно используют платиновый электрод, а в качестве электрода сравнения (СЭ), – например, насыщенный калийный электрод. Необходимая разница потенциалов между образцом и электродом сравнения задается контуром с обратной связью.

Любая разбалансировка между потенциалом электрода и задаваемым потенциалом дает сигнал на входе регулирующего усилителя. Последний регулирует ток в ячейке между образцом и вспомогательным электродом до тех пор, пока сигнал от регулирующей цепи не будет равен нулю.

Потенциостат обычно применяют для изучения поведения металлов, которые могут находиться в пассивно-активном состоянии. Знания о природе и механизме пассивности значительно возросли с началом использования потенциостатической техники. Важное значение этот метод имеет и для практического применения – это инструмент для опера-

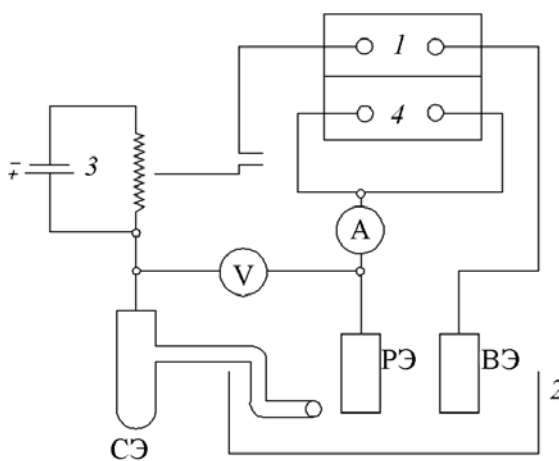
тивного определения состояния пассивности металлов и тенденции к установлению пассивности, а также для определения коррозионной стойкости металлов в различных условиях.

Для оценки влияния имплантации ионов монотектического сплава на коррозионную стойкость стали 30ХГСН2А использовались плоские образцы размером 50×50 мм<sup>2</sup> и толщиной 2 мм. Образцы с одной стороны подвергались имплантации с флюенсом 10<sup>17</sup> ион/см<sup>2</sup>. Затем они помещались в камеру солевого тумана.

### **Результаты исследований и их обсуждение**

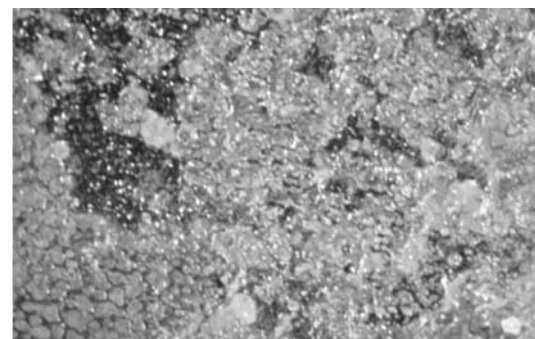
На сторонах образцов, которые не подвергались имплантации, через трое суток стали появляться очаги коррозии, а через восемь суток вся поверхность была покрыта слоем оксида рыжего цвета (рис. 2).

Выдержка образцов в атмосфере соляного тумана при температуре 50 °C показала, что после 75 ч на поверхности образцов, не подвергавшихся имплантации, образовался слой

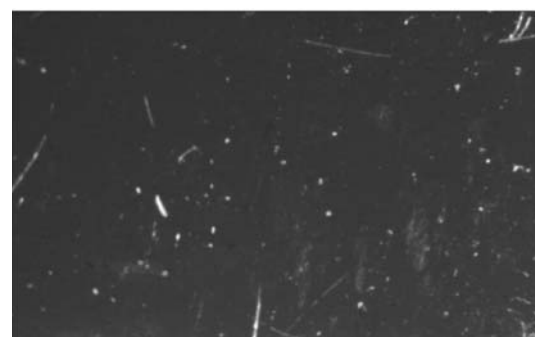


**Рис. 1. Принципиальная схема потенциостата  
и электрохимической ячейки:**

ВЭ – вспомогательный электрод; СЭ – электрод сравнения; РЭ – рабочий электрод;  
1 – источник тока; 2 – электрохимическая ячейка;  
3 – усилитель мощности; 4 – усилитель тока



*a*



*b*

**Рис. 2. Микрофотографии стали 30ХГСН2А  
после испытаний в камере солевого тумана:**

*a* – образец, не подвергавшийся имплантации, после 5 суток выдержки; *b* – образец, подвергнутый имплантации, после 35 суток выдержки

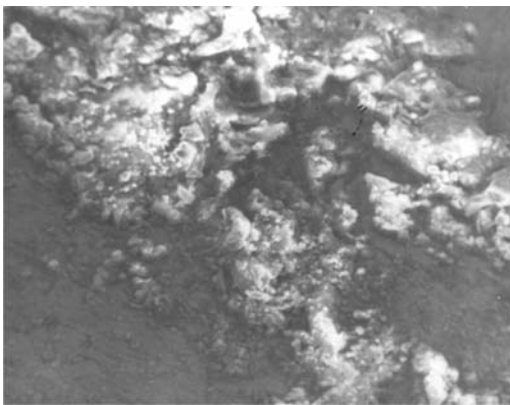


Рис. 3. Язва коррозионного поражения поверхности образца ( $\times 50$ )

оксида железа. На образцах, подвергнутых имплантации ионами меди и свинца, при данной выдержке не наблюдалось формирования слоя оксида железа. На последних образцах коррозионные язвы появились только после 160 ч выдержки в атмосфере соляного тумана (рис. 3).

Установлено, что ионное модифицирование приводит к сдвигу электродного потенциала в положительную область и уменьшению силы токов коррозии (табл. 1).

Для ряда комбинаций ион–металл наряду с химической активностью имплантируемого элемента большую роль в повышении соотвления общей и питтинговой коррозии играет возникновение под действием ионной бомбардировки сильных напряжений в измененном слое и слое, находящемся непосредственно под ним в матрице.

Исследование воздействия ионных пучков на коррозионные свойства было проведено на образцах из стали 30ХГСН2А. Сравнивались анодные потенциодинамические кривые исходного образца и образцов, подвергнутых имплантации ионов монотектического сплава.

Визуально оценивалось изменение поверхностного слоя при коррозии. Рассматривались следующие количественные характеристики:  $\Phi_c$  – стационарный потенциал;  $\Phi_p$  – потенциал начала активного растворения;  $\Phi_n$  – потенциал окончания активного растворения (потенциал пассивации);  $\Phi_{\text{пас}}$  – потенциал перепассивации. Имплантация ионов меди и свинца проводилась до дозы насыщения при энергии 35 кэВ, что, с одной стороны, обеспечивало модифицирование достаточно глубокого слоя, а с другой – не ухудшало микрорельеф поверхности. Для исследования использовался ацетатный раствор ( $\text{CH}_3\text{COOH}$ ,  $\text{CH}_3\text{COONa}$ ) с кислотностью среды  $\text{pH}=5$ . Скорость развертки потенциала составляла 5 мВ/с.

Полученные данные при исследовании образца, не подвергавшегося имплантации, показали, что имеются признаки равномерного растворения железа и значительные области питтинга. Стационарный потенциал образца составил 360 мВ (рис. 4, кривая 1). Активное растворение железа начиналось при незначительном увеличении потенциала и наблюдалось до потенциала 45 мВ. В области пассивации выявлены небольшие колебания тока, связанные с разными скоростями растворения железа, карбидной и силицидной фаз.

В отличие от необработанного, у образца, подвергнутого имплантации ионов монотектического сплава меди со свинцом, не было обнаружено признаков равномерного растворения железа (общей коррозии), сами области питтинга имели намного меньшие размеры и глубину. Наблюдалось значительное, по сравнению с необработанным образцом, смещение стационарного потенциала в положительную область, что говорит о высоких антикоррозий-

Таблица 1

Влияние ионной имплантации поверхности образцов из стали 30ХГСН2А на их коррозионные свойства

Поверхность образца	Электродный потенциал $U$ , мВ	Сила тока коррозии $I$ , мА	Результаты испытаний на коррозионную стойкость	
			уменьшение массы образца, г	глубина язв, мкм
не подвергавшаяся имплантации	-218	0,38	0,2588	84
подвергшаяся имплантации ионов монотектического сплава Cu (64 %) – Pb (36 %)	+198	0,011	0,0633	9

Таблица 2

**Результаты испытаний на коррозионную стойкость стали 30ХГСН2А**

Образец	Стационарный потенциал $\phi_c$ , мВ	Потенциал начала активного растворения $\phi_p$ , мВ	Потенциал окончания активного растворения $\phi_n$ , мВ	Потенциал перепассивации $\phi_{pac}$ , мВ
без обработки	-360	-360	45	1040
подвергнутый имплантации ионов монотектического сплава меди со свинцом	-140	260	360	710

онных свойствах (рис. 4, кривая 2).

Характерным отличием анодно-потенциодинамических кривых исходного и имплантированных образцов также являлась необходимость приложения дополнительного потенциала для активного растворения имплантированного образца. Подобное поведение позволяет прогнозировать высокие защитные свойства покрытия даже в окислительных агрессивных средах. Потенциал перепассивации фактически не изменился.

Анализ данных, представленных в табл. 2, показывает, что перспективным способом повышения коррозионной стойкости стали 30ХГСН2А является имплантация ионов меди и свинца. Данный метод обработки может быть применен к деталям, несущим большие механические нагрузки и работающим в окислительных агрессивных средах.

Результаты измерения скорости коррозии получены методом поляризационных сопротивлений исходного образца и образца, подвер-

гнутого имплантации, при выдержке в растворе серной кислоты (рис. 5).

Из анализа рис. 5 следует, что скорость коррозии образца, подвергнутого имплантации ионов меди и свинца, минимальна. В случае одновременной имплантации ионов меди и свинца дозой  $1 \cdot 10^{17}$  ион/см<sup>2</sup> стойкость стали 30ХГСН2А к общей питтинговой коррозии возрастает благодаря суммарному эффекту от радиационно-стимулированных структурных превращений поверхности и возникновению напряжений сжатия в имплантированном слое.

На структуру слоя, подвергнутого имплантации, и содержание внедренных в него ионов существенное влияние может оказывать флюенс (доза имплантации). Для выявления степени влияния указанного параметра на коррозионную стойкость образцов из стали 30ХГСН2А была выполнена имплантация, мм/год

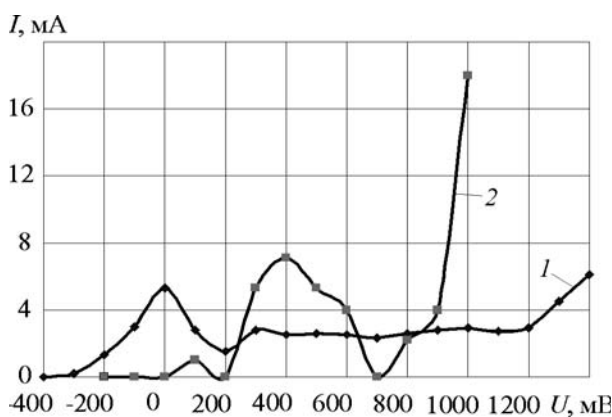


Рис. 4. Анодно-потенциодинамические кривые исходного образца (1) и образца, имплантированного ионами монотектического сплава (2)

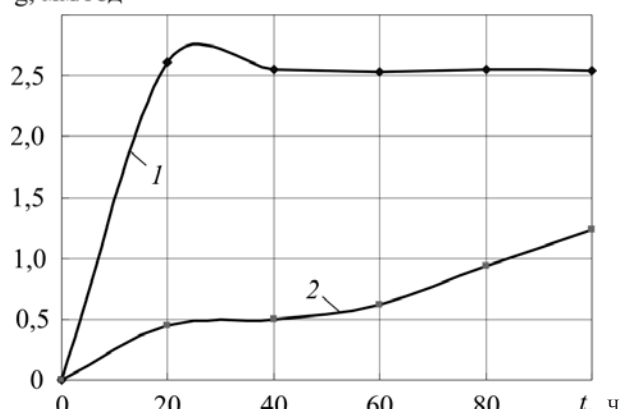


Рис. 5. Изменение скорости коррозии  $g$  исходного образца из стали 30ХГСН2А (1) и подвергнутого имплантации ионов меди и свинца (2) в растворе 20%-ной кислоты  $H_2SO_4$  в зависимости от времени выдержки  $t_b$

Таблица 3

**Толщины поверхностного слоя, содержащего имплантированные ионы, и подповерхностного слоя с измененной дислокационной структурой в зависимости от флюенса**

Толщина слоя	Флюенс, ион/см <sup>2</sup>		
	1·10 <sup>17</sup>	5·10 <sup>17</sup>	1·10 <sup>18</sup>
поверхностного, нм	350...420	370...440	380...470
подповерхностного, с измененной имплантацией дислокационной структурой, мкм	35...44	42...50	53...62

Таблица 4

**Результаты испытаний образцов на коррозионную стойкость**

Образец	Флюенс, ион/см <sup>2</sup>	Стационарный потенциал $\Phi_c$ , мВ	Потенциал начала активного растворения $\Phi_p$ , мВ	Потенциал окончания активного растворения $\Phi_n$ , мВ	Потенциал перепассивации $\Phi_{pac}$ , мВ
без обработки	–	– 360	– 360	45	1040
подвергнутый имплантации ионов монотектического сплава меди со свинцом	10 <sup>17</sup>	– 140	260	360	710
	5 · 10 <sup>17</sup>	– 120	285	410	690
	10 <sup>18</sup>	– 80	310	450	650

ция партии образцов с флюенсом 5·10<sup>17</sup> ион/см<sup>2</sup> и 1·10<sup>18</sup> ион/см<sup>2</sup>.

Анализ изменения структуры поверхностного слоя стали 30ХГСН2А показал, что увеличение значения флюенса способствует росту толщины подповерхностного слоя с измененной дислокационной структурой, в то время как слой, содержащий имплантируемые ионы, по глубине изменяется незначительно (табл. 3).

Увеличение флюенса в процессе имплантации ионов монотектического сплава приводит к возникновению в подповерхностном слое субструктур дислокационных ячеек с дислокационными фрагментами. Дислокационные субструктуры, формирующиеся в подповерхностном слое металла при ионной имплантации с увеличенным значением флюенса, подобны дислокационным субструктурам, образующимся в металлах при их деформации на 12...15 %.

Результаты коррозионных испытаний образцов, подвергнутых имплантации с различными значениями флюенса, представлены в табл. 4.

Сравнение данных табл. 4 показывает, что увеличение флюенса приводит к повышению коррозионной стойкости стали 30ХГСН2А.

В рамках данной работы были выполнены измерения скорости коррозии образцов, подвергнутых имплантации с различным флюенсом, при выдержке в растворе серной кислоты (рис. 6). Результаты исследований показали, что с ростом значения флюенса отмечается снижение скорости коррозии.

В результате измерения скорости коррозии стальных образцов без обработки и подвергнутых имплантации ионов монотектического сплава меди со свинцом при выдержке в рас-

g, мм/год

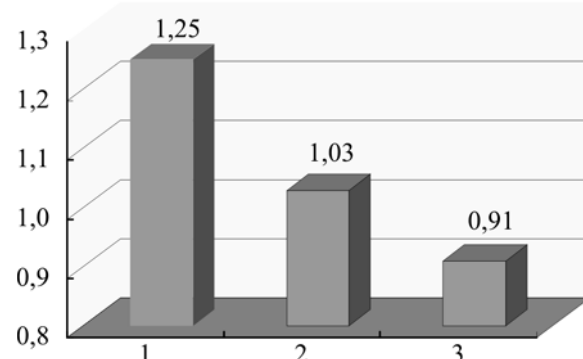


Рис. 6. Зависимость скорости коррозии стали

30ХГСН2А от величины флюенса:

1 – 10<sup>17</sup> ион/см<sup>2</sup>; 2 – 5·10<sup>17</sup> ион/см<sup>2</sup>; 3 – 10<sup>18</sup> ион/см<sup>2</sup>

творе серной кислоты было обнаружено, что в случае имплантации ионов меди и свинца стойкость стали 30ХГСН2А против общей и питтинговой коррозии возрастает благодаря суммарному эффекту от радиационно-стимулированных структурных изменений поверхности и возникающих напряжений сжатия в слое, подвергнутом имплантации.

### **Заключение**

Полученные в работе результаты коррозионных испытаний стали 30ХГСН2А позволяют рекомендовать ионную имплантацию в качестве метода повышения коррозионной стойкости авиационных деталей, подвергающихся в процессе эксплуатации воздействию агрессивной среды.

### **Список литературы**

1. Достижение науки о коррозии и технологии защиты от нее. Коррозионное растрескивание металлов : пер. с англ. / под ред. М. Фонтана, Р. Стэйл. – М.: Металлургия, 1985. – 488 с.
2. Защита от коррозии, старения и биоповреждений машин, оборудования и сооружений справочник : в 2 т. – Т. 1 / под ред. А.А. Герасименко. – М.: Машиностроение, 1987. – 688 с.
3. Либанова Л.С. Применение ионного облучения для улучшения антикоррозионных свойств поверхностей // Поверхность. 1997. № 10. С. 121–124.
4. Фокин М.Н. Методы коррозионных испытаний металлов. – М.: Металлургия, 1986. – 80 с.

*Материал поступил в редакцию 06.03.13.*

#### **ОВЧИННИКОВ**

**Виктор Васильевич**  
E-mail: [vikov1956@mail.ru](mailto:vikov1956@mail.ru)  
Тел.: (916) 512-43-82 (моб.)

Доктор технических наук, профессор МГИУ. Сфера научных интересов – модификация поверхности конструкционных материалов потоками заряженных частиц, разработка алюминиевых сплавов и исследование их технологических свойств. Автор более 430 научных работ.

#### **БОРОВИН**

**Юрий Михайлович**  
E-mail: [borovin@mail.ru](mailto:borovin@mail.ru)  
Тел.: (926) 272-95-34 (моб.)

Кандидат технических наук, доцент кафедры «Материаловедение и технологии конструкционных материалов» МГИУ. Сфера научных интересов – исследование влияния облучения поверхности металлических материалов потоками ионов на их трибологические характеристики. Автор 65 научных работ.

#### **ЯКУТИНА**

**Светлана Викторовна**  
E-mail: [Jakutina\\_sveta@mail.ru](mailto:Jakutina_sveta@mail.ru)  
Тел.: (916) 844-86-55 (моб.)

Кандидат технических наук, доцент кафедры «Материаловедение и технологии конструкционных материалов» МГИУ. Сфера научных интересов – влияние ионной имплантации на коррозионные свойства конструкционных материалов. Автор 25 научных работ.

#### **ЛУКЬЯНЕНКО**

**Елена Владимировна**  
E-mail: [lev\\_2506@mail.ru](mailto:lev_2506@mail.ru)  
Тел.: (916) 052-47-82 (моб.)

Кандидат технических наук, старший преподаватель кафедры «Материаловедение и технологии конструкционных материалов» МГИУ. Сфера научных интересов – исследование микроструктуры имплантированных слоев металлических материалов. Автор 28 научных работ.

#### **КОЗЛОВ**

**Дмитрий Александрович**  
E-mail: [koslov74@mail.ru](mailto:koslov74@mail.ru)  
Тел.: (916) 823-58-29 (моб.)

Кандидат технических наук, старший научный сотрудник кафедры «Материаловедение и технологии конструкционных материалов» МГИУ. Сфера научных интересов – исследование катода имплантатора на состав ионных пучков. Автор 19 научных работ.

#### **ПАРФЕНОВСКАЯ**

**Ольга Алексеевна**  
E-mail: [parfenovskaya\\_oa@mail.ru](mailto:parfenovskaya_oa@mail.ru)  
Тел.: (916) 052-47-82 (моб.)

Кандидат технических наук, доцент кафедры «Материаловедение и технологии конструкционных материалов» МГИУ. Сфера научных интересов – исследование коррозионной стойкости металлических конструкционных материалов. Автор 37 научных работ.